

01; 05.2; 08

УЕДИНЕННЫЕ АКУСТОЭЛЕКТРОМАГНИТНЫЕ  
ВОЛНЫ В КРИСТАЛЛАХ  
С НЕЛИНЕЙНОЙ ЭЛЕКТРОСТРИКЦИЕЙ

Г.Н. Б у р л а к

Известно, что при распространении световых волн в средах с кубической нелинейностью могут формироваться нелинейные самосжимающиеся импульсы [1]. Однако общая картина значительно усложняется, если в такой среде имеет место взаимосвязь электромагнитных волн с акустическими [2].

Ниже показано, что в анизотропных кристаллах с квадратичной электрострикцией при нелинейном акустоэлектромагнитном взаимодействии могут формироваться уединенные волны огибающей. В ходе эволюции последние усиливаются и резко сжимаются, причем их скорость оказывается порядка скорости звука. На основе найденного точного решения нелинейных уравнений выявлен ряд особенностей такого процесса, связанных с пороговым распадом начальной затравки на несколько импульсов, а также с поглощением звука.

Рассмотрим одноосный кристалл симметрии  $3m$ , система координат которого совмещена с кристаллографическими осями. Исследуем взаимодействие параллельно распространяющихся вдоль  $x$  обыкновенной и необыкновенной электромагнитных волн с поперечной акустической волной:

$$\vec{E}_{z2} = \mathcal{E}_{z2} \vec{e}_y z e^{i\theta_{z2}} + \text{к.с.}, \quad \vec{u} = \mathcal{U} [\vec{e}_y + \alpha \vec{e}_z] e^{i\theta_3} + \text{к.с.}, \quad (1)$$

где  $\theta_{z2} = \omega_{z2} t - k_{z2} x$ ,  $\theta_3 = \Omega t - Kx$ ;  $\mathcal{E}_{z2}$  и  $\mathcal{U}$  — медленно меняющиеся амплитуды волн,  $\alpha = 0.86$  [3]. Ввиду того, что для рассматриваемых волн соответствующие константы линейной (по звуку) электрострикции равны нулю ( $\alpha_{45} = \alpha_{46} = 0$ ), нижайшей нелинейностью, обуславливающей взаимодействие, служит нелинейная (квадратичная) электрострикция, что отвечает в свободной энергии слагаемым вида

$$g_o \mathcal{U}^2 E_1^2 + g_e \mathcal{U}^2 E_2^2 + g_3 \mathcal{U}^2 E_1 E_2. \quad (2)$$

Здесь  $g_i$  — эффективные компоненты тензора квадратичной электрострикции (обычно  $g_o/g_e \sim n_o/n_e$ , где  $n_{qe}$  — показатели преломления). Наиболее выраженным такое взаимодействие будет при выполнении резонансных условий вида  $\omega_1 - \omega_2 = 2\Omega$ ,  $k_1 - k_2 = 2K + \Delta k$ ,

где  $\Delta k$  - малая расстройка. При этом частота звука равна  $\Omega \approx s(n_0 - n_e) \omega_1 / 2c$ .

Учитывая слабость нелинейности, нетрудно получить динамические уравнения для комплексных амплитуд волн. Первые два слагаемых в (2) отвечают нерезонансному взаимодействию, приводящему к характерной для данных процессов осцилляции относительной фазы, связанной с перенормировкой фазовой скорости волн в кубически нелинейной среде. Можно показать, что при выборе  $\Delta k = g_0 K \epsilon_{10}^2 / 4\pi \rho s^2$ , где  $\epsilon_{10}$  - входная амплитуда волны накачки, относительная фаза стабилизируется и взаимодействие будет оптимальным. В этом случае уравнения для модулей амплитуд волн приобретают следующий вид

$$\frac{\partial A_{1,2}}{\partial \xi} = \mp A_{1,2} A_3^2, \quad \left( \frac{\partial}{\partial \xi} + \frac{\partial}{\partial \tau} + \Gamma \right) A_3 = A_1 A_2 A_3, \quad (3)$$

где использованы безразмерные переменные

$A_1 = \epsilon_1 / \epsilon_{10}$ ,  $A_2 = (\epsilon_2 / \epsilon_{10}) \cdot (\alpha_1 / \alpha_2)^{1/2}$ ,  $A_3 = (s / \epsilon_{10})(\alpha_1 / \alpha_3)^{1/2}$ ,  $\alpha_{1,2} = k_{1,2} K g_3 / [4n_{ge}^2]$ ,  $\alpha_3 = g_3 K / 8\pi \rho s^2$ ,  $\xi = x / l_H$ ,  $\tau = st / l_H$ ,  $l_H = [\alpha_1 / (\alpha_2 \alpha_3^2 \epsilon_{10}^4)]^{1/2}$  - характерный пространственный масштаб, связанный с рассматриваемой нелинейностью,  $\Gamma = \gamma l_H$ ,  $\gamma$  - коэффициент поглощения звука,  $s$  - скорость звука,  $\rho$  - плотность. При получении (3) учитывалось [4]  $s/c \sim 10^{-5} \ll 1$ . Далее исследуем простейшую ситуацию, когда на границе при  $\xi = -\infty$  в кристалле вводится электромагнитная волна накачки  $A_1 = 1$ , а  $A_{2,3} = 0$ , причем при  $\tau = 0$  в кристалле имеется начальная звуковая затравка  $A_3(\xi, 0) = A_{30}(\xi)$ .

Как нетрудно убедиться, в пренебрежении поглощением волн ( $\Gamma \rightarrow 0$ ) точное решение нелинейной системы (3) имеет вид

$$A_1 = (1 - \rho^2)^{1/2}, \quad A_2 = \rho, \quad A_3 = A_{30}(\xi - \tau) \cdot \rho / \sin Q, \quad (4)$$

$$\text{где } \rho = [1 + (ctg Q - \tau)^2]^{-1/2}, \quad Q = \int_{-\infty}^{\xi} A_{30}^2(\xi') d\xi'.$$

Важно, что в (4) входит неконкретизованная заранее огибающая начальной затравки  $A_{30}(\xi)$ . Это позволяет исследовать пространственно-временную эволюцию волн, не ограничиваясь уровнем нелинейности, т.е. с учетом интенсивного обмена энергией между полем и звуком. В качестве иллюстрации более подробно рассмотрим два случая, достаточно полно отражающие особенности данного процесса.

$$1. \quad A_{30}(\xi) = [\alpha / (1 + \beta^2 \xi^2)]^{1/2}.$$

При  $\alpha = \beta$  получаем  $A_3(\xi, \tau) \equiv A_3 = \{\beta / [1 + \beta^2 (\xi - \sigma \tau)^2]\}^{1/2}$  -

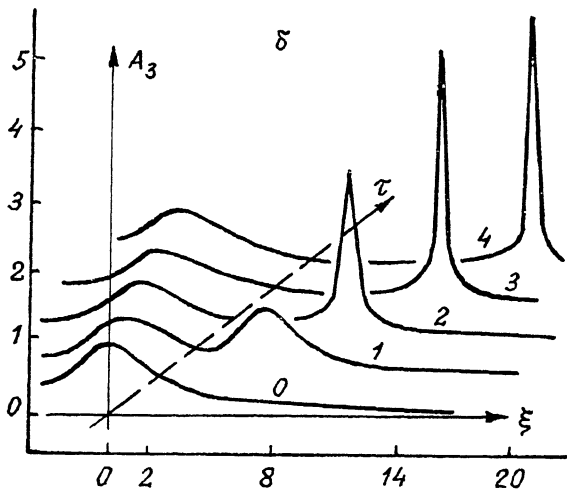
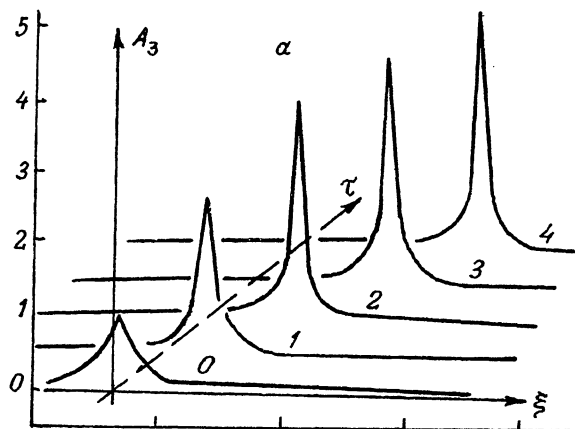


Рис. 1. Эволюция нелинейного акустического импульса  $A_3(\xi, \tau)$  при различных начальных условиях для  $\tau = 0, 2.25, 4.5, 6.75, 9.0$  (кривые 0-4).

стационарную уединенную волну звука, распространяющуюся со скоростью  $v = (\beta - 1)\beta$ . При этом  $A_2$  также имеет вид уединенной волны, а  $A_1$  подобна „темновому“ солитону. Заметим, что это решение можно получить и непосредственно из (3), полагая  $A_i = A_i(\xi - vt)$ . При  $\beta \leq 1$  оказывается  $v \geq 0$ , т.е. в зависимости от величины  $\beta$  импульс движется в прямом или обратном направлении  $x$ . В общем случае характер

Эволюции импульсов оказывается более сложным и существенно зависит от соотношения между  $\alpha$  и  $\beta$ . На рис. 1, а представлен случай  $\alpha < \beta$  ( $\alpha = 1$ ,  $\beta = 3$ ). Видно, что с течением времени импульс  $A_3$  значительно усиливается и резко сжимается. При этом его полная энергия  $W(\tau) = \int_{-\infty}^{\infty} A_3^2(\xi, \tau) d\xi$

растет и стремится к значению  $\pi$ . В случае же  $\alpha > \beta$  ( $\alpha = 1$ ,  $\beta = 0.8$ , рис. 1, б) начальная

затравка распадается на два более коротких импульса, которые спустя время  $\tau \sim 5$  становятся хорошо пространственно разделенными. В дальнейшем эти импульсы независимо усиливаются и сжимаются.

$$2. A_{30}(\xi) = [\alpha / c h \beta \xi]^{1/2}.$$

Для  $\alpha = \beta$  получаем решение в виде  $A_3 = \{ \beta c h \beta (\xi - \tau) / [1 + (sh \beta (\xi - \tau) + \tau)^2] \}^{1/2}$ .

Положение центра импульса можно найти из условия  $sh \beta (\xi - \tau) = \tau$ , откуда следует, что импульс будет распространяться со скоростью  $v = 1 - 1/\beta \sqrt{1 + \tau^2}$ , причем его амплитуда будет нарастать  $A_3 \sim (1 + \tau^2)^{1/4}$ . Поскольку энергия такого импульса фиксирована  $W(\tau) = \pi$ , то с течением времени он будет сжиматься. Как и в предыдущем случае, при  $\alpha > \beta$  имеет место распад начальной затравки на два или несколько коротких импульса.

При больших временах  $\tau \rightarrow \infty$  необходим учет поглощения звука ( $T \neq 0$ ). Однако вместо непосредственного решения (3) проанализируем уравнение, определяющее эволюцию полной энергии звука (которое следует из (3))

$$\frac{dW}{d\tau} + 2T W = \sin^2 W. \quad (5)$$

Изменение  $W$  определяется балансом поглощения звука и его нелинейного усиления, обусловленного взаимодействием с полем. Уравнение (5) удобно проанализировать графически (рис. 2): стационарные значения  $W$  определяются пересечением прямой  $2T W$  с функцией  $\sin^2 W$ . При этом картина взаимодействия существенно зависит от величины  $T$ . При больших  $T$  имеется только одна стационарная точка  $W = 0$ , в этом случае все возмущения в среде затухают. Однако при меньших  $T$ , начиная с  $T_n$ , возникают еще две стационарные точки — устойчивая и неустойчивая, что отвечает образованию нового состояния в системе — нелинейного импульса звука. При малых  $T$  стационарные значения  $W$  близки к  $j\pi$  ( $j = 1, 2, \dots$ ).

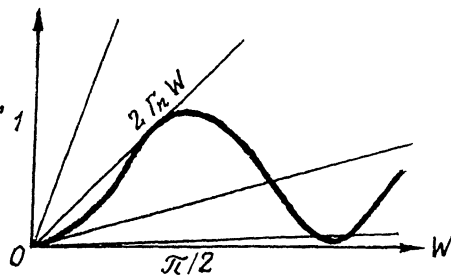


Рис. 2.

Рассмотренное усиление и сжатие сигналов может наблюдаться в кристаллах тригональной симметрии (например в ниобате лития). Однако ввиду того, что значения  $g_3$  особенно велики в кристаллах с  $\epsilon_c \gg 1$ , численную оценку выполним для монокристалла  $\text{BaTiO}_3$ , который при  $T^{\circ} < -90^{\circ}$  обладает подходящей симметрией [3]. Учитывая, что в СВЧ диапазоне еще сохраняются аномально большие значения диэлектрической постоянной  $\epsilon_0 \sim 2 \cdot 10^3$ ,  $\epsilon_e \sim 300$  и полагая  $g_3 \sim \epsilon_e^3 / 9$  [5] для  $\omega \sim 10^{12} \text{ c}^{-1}$ ,  $\rho = 5 \text{ г/см}^3$ ,  $s = 4 \cdot 10^5 \text{ см/с}$ ,  $\Omega = 2 \cdot 10^8 \text{ с}^{-1}$ ,  $P = c \epsilon_0 / \beta \kappa = 10 \text{ кВт/см}^2$ , получаем для средней полуширины импульса  $L_H = 0.1 \text{ см}$ , что вполне доступно экспериментальному наблюдению.

#### Л и т е р а т у р а

- [1] Дианов Е.М., Карасик А.Я., Мамышев П.В. и др. // Письма в ЖЭТФ, 1984, т. 40, № 4, с. 148-150.
- [2] Гуляев Ю.В., Мовсесян С.М., Шкердин Г.Н. ФТТ, 1980, т. 22, № 2, с. 523-529.
- [3] Акустические кристаллы (ред. М.И. Шаскольская). М.; Наука, 1982, 510 с.
- [4] Бурлак Г.Н., Коцаренко Н.Я. // Письма в ЖТФ, 1984, т. 10, № 11, С. 674-677.
- [5] Пекар С.И. ЖЭТФ, 1965, т. 49, № 3, с. 621-628.

Киевский государственный  
университет им. Т.Г. Шевченко

Поступило в Редакцию  
24 ноября 1988 г.